

# Die linearisierte Feldgleichungen der ART und Gravitationswellen

Die ART ist eine klassische, nichtlineare Feldtheorie zur Gravitation. Spätere Beispiele sind die volle Lösung zur Gravitation einer statischen Kugel-sym. Massenverteilung, wie die Schwarzschild-Lösung im kruskal'schen Diagramm, die Tolman-Oppenheimer-Volkoff-Gleichung von kompakten Sternen, wie auch später die Robertson-Walker-Metrik des expandierenden Universums. Diese Lösungen gelten auch für "starke" Felder, wo die Metrik g<sub>μν</sub> signifikant sich von der Minkowski-Metrik unterscheiden. Andererseits, für "schwache" Quellen oder für große Entfernungen im kruskal'schen Diagramm erwarten wir näherungsweise euklidische Geometrie. Ähnliches, in Analogie zur rel. Elektrodynamik, erwarten wir ebenfalls "einfache" rel. Wellengleichungen, also sich kausal, also mit Lichtgeschwindigkeit c ausbreiten. Das Problem sind die (quadratischen) Nichtlinearitäten, die die ART so komplex darstellen, und die wir (per Annahme) eliminieren wollen.

Fassen wir kurz zusammen:

$$G_{\mu\nu} \equiv R_{\mu\nu} - \frac{1}{2} R g_{\mu\nu} = - \frac{8\pi G}{c^4} T_{\mu\nu} \quad \text{Einstein'sche Feldgleichung (1)}$$

← Energie-Impuls-Tensor  
"Quelle"

Licci-Tensor  $R_{\mu\nu} = g^{\alpha\beta} R_{\alpha\mu\beta\nu} = R_{\nu\mu}$   
Krümmungsskalar  $R = g^{\mu\nu} R_{\mu\nu}$

Alternativ können wir (1) auch schreiben als

$$R_{\mu\nu} = - \frac{8\pi G}{c^4} \left( T_{\mu\nu} - \frac{1}{2} T g_{\mu\nu} \right) \quad \text{mit } T \equiv T^{\mu}_{\mu} \quad (2)$$

Weiter gilt für den Riemannischen Krümmungstensor: (2)

$$\left( \nabla_{\beta}^{\alpha} \nabla_{\gamma} - \nabla_{\gamma}^{\alpha} \nabla_{\beta} \right) V^{\mu} = R^{\alpha}_{\mu\beta\gamma} V^{\mu}$$

$$R^{\alpha}_{\mu\beta\gamma} = \left( \frac{\partial \Gamma^{\alpha}_{\beta\mu}}{\partial x^{\gamma}} - \frac{\partial \Gamma^{\alpha}_{\gamma\mu}}{\partial x^{\beta}} + \Gamma^{\alpha}_{\rho\sigma} \Gamma^{\rho}_{\beta\mu} - \Gamma^{\alpha}_{\beta\sigma} \Gamma^{\rho}_{\gamma\mu} \right) \quad (3)$$

"Nicht-linearitäten"

$$R_{\mu\nu\alpha\beta} = g_{\mu\lambda} R^{\lambda}_{\nu\alpha\beta} = g_{\mu\lambda} \left( \frac{\partial \Gamma^{\lambda}_{\alpha\nu}}{\partial x^{\beta}} - \frac{\partial \Gamma^{\lambda}_{\beta\nu}}{\partial x^{\alpha}} + \Gamma^{\lambda}_{\rho\sigma} \Gamma^{\rho}_{\alpha\nu} - \Gamma^{\lambda}_{\alpha\sigma} \Gamma^{\rho}_{\beta\nu} \right) \quad (4)$$

Die Christoffel-Symbole sind gegeben über die Metrik

$$\Gamma^{\sigma}_{\mu\nu} = \frac{1}{2} g^{\nu\sigma} \left[ \frac{\partial g_{\mu\nu}}{\partial x^{\lambda}} + \frac{\partial g_{\lambda\nu}}{\partial x^{\mu}} - \frac{\partial g_{\mu\lambda}}{\partial x^{\nu}} \right] = \Gamma^{\sigma}_{\nu\mu} \quad (5)$$

Auch gilt (vgl. Weinberg, oder auch Kap. 5) weiter durch Umrechnen

$$R_{\mu\nu\alpha\beta} = \frac{1}{2} \left( \frac{\partial^2 g_{\alpha\mu}}{\partial x^{\beta} \partial x^{\nu}} - \frac{\partial^2 g_{\beta\mu}}{\partial x^{\alpha} \partial x^{\nu}} - \frac{\partial^2 g_{\alpha\nu}}{\partial x^{\beta} \partial x^{\mu}} + \frac{\partial^2 g_{\beta\nu}}{\partial x^{\alpha} \partial x^{\mu}} \right) + g_{\rho\lambda} \left( \Gamma^{\rho}_{\alpha\mu} \Gamma^{\lambda}_{\beta\nu} - \Gamma^{\rho}_{\beta\mu} \Gamma^{\lambda}_{\alpha\nu} \right) \quad (6)$$

Hier erkennt man bereits die "linearen" und "quadratischen" (nichtlin.) Abhängigkeiten des Krümmungstensors nach 2-ten Ableitungen nach der Metrik oder als Produkt von ersten Ableitungen der Metrik.

Für den Fall (als Annahme) kleiner Änderungen vom Minkowski-Tensor <sup>(3)</sup>

$$g_{\mu\nu} = \eta_{\mu\nu} + h_{\mu\nu} \quad \text{mit } |h_{\mu\nu}| \ll 1 \quad (7)$$

wollen wir die Feldgleichungen systematisch nach der ersten (und später auch bis zur zweiten) Ordnung entwickeln. Es ist <sup>← Minkowski-Tensor</sup>

$$g^{\mu\nu} = \eta^{\mu\nu} - h^{\mu\nu} + O(h^2), \quad \text{mit } h^{\mu\nu} \equiv \eta^{\mu\alpha} \eta^{\beta\nu} h_{\alpha\beta} \quad (8)$$

da  $g^{\mu\nu} g_{\nu\alpha} = (\eta^{\mu\nu} - h^{\mu\nu})(\eta_{\nu\alpha} + h_{\nu\alpha}) = \delta^{\mu}_{\alpha} - h^{\mu}_{\alpha} + h^{\mu}_{\alpha} + h^{\mu\nu} h_{\nu\alpha} \approx \delta^{\mu}_{\alpha}$

Weiter ist für das Christoffel-Symbol (5)

$$\Gamma^{\lambda}_{\mu\nu} \stackrel{(5)}{=} \frac{1}{2} g^{\lambda\sigma} [g_{\sigma\mu,\nu} + g_{\sigma\nu,\mu} - g_{\mu\nu,\sigma}] \quad (17)$$

$$\approx \frac{1}{2} \eta^{\lambda\sigma} [h_{\sigma\mu,\nu} + h_{\sigma\nu,\mu} - h_{\mu\nu,\sigma}] + O(h^2) \quad \leftarrow \text{erste Ordnung}$$

und für den Ricci-Tensor aus (3)

$$R_{\mu\nu} = g^{\alpha\beta} R_{\alpha\mu\beta\nu} = R^{\lambda}_{\mu\nu\lambda}$$

$$\stackrel{(3)}{=} \left( \frac{\partial \Gamma^{\lambda}_{\lambda\mu}}{\partial x^{\nu}} - \frac{\partial \Gamma^{\lambda}_{\lambda\nu}}{\partial x^{\mu}} + \underbrace{\Gamma^{\lambda\sigma\tau}_{\mu\nu\lambda}}_{\text{Matr}} \right)$$

$$\approx \Gamma^{\lambda}_{\mu\lambda\nu} - \Gamma^{\lambda}_{\mu\nu\lambda}$$

$$\stackrel{(8)}{=} \frac{1}{2} \eta^{\lambda\sigma} (h_{\sigma\lambda,\mu\nu} + h_{\sigma\mu,\lambda\nu} - h_{\mu\lambda,\sigma\nu}) -$$

$$- \frac{1}{2} \eta^{\lambda\sigma} (h_{\sigma\nu,\mu\lambda} + h_{\sigma\nu,\lambda\mu} - h_{\mu\nu,\sigma\lambda})$$

$$= \frac{1}{2} \left( h^{\lambda}_{\lambda\mu\nu} - h^{\sigma}_{\mu\nu\sigma} - h^{\lambda}_{\sigma\mu\lambda} + \underbrace{\eta^{\lambda\sigma} h_{\mu\nu\sigma\lambda}}_{(9)} \right)$$

$$= \frac{1}{2} \left( h^{\lambda}_{\lambda\mu\nu} - h^{\lambda}_{\mu\nu\lambda} - h^{\lambda}_{\sigma\mu\lambda} + \square h_{\mu\nu} \right) \quad \text{"Wellenoperator"}$$

Aus den Feldgleichungen (2) in erster führender Ordnung  $h$  wird dann  $\textcircled{4}$

$$R_{\mu\nu} = \frac{1}{2} (\square h_{\mu\nu} + h^{\lambda\rho}{}_{,\rho\lambda\mu\nu} - h^{\lambda\rho}{}_{,\mu\nu\lambda\rho} - h^{\lambda\rho}{}_{,\nu\rho\lambda\mu})$$

$$= -\frac{8\pi G}{c^4} \left[ T_{\mu\nu} - \frac{T}{2} (\eta_{\mu\nu} + h_{\mu\nu}) \right] \quad (10)$$

Die kleinen "Großen"  $h_{\mu\nu}$  haben ihre Ursachen in den Quellen  $T_{\mu\nu}$ , i.e.  $T, T_{\mu\nu} \sim O(h)$ , so daß wir den 2. ten Term der rechten Seite vernachlässigen dürfen,  $\textcircled{11}$

$$R_{\mu\nu} = \frac{1}{2} (\square h_{\mu\nu} + h^{\lambda\rho}{}_{,\rho\lambda\mu\nu} - h^{\lambda\rho}{}_{,\mu\nu\lambda\rho} - h^{\lambda\rho}{}_{,\nu\rho\lambda\mu}) \approx -\frac{8\pi G}{c^4} \left[ T_{\mu\nu} - \frac{1}{2} T \eta_{\mu\nu} \right]$$

An dieser Stelle haben wir bislang nicht die "Freiheit" an geschickten Koordinaten ausgenutzt. Diese sind ja gemäß der ART ja "beliebig". Wir können (in der entsprechenden Größenordnung  $O(h)$ ) Transformationen

$$x^\mu \rightarrow x'^\mu = x^\mu + \varepsilon^\mu(x) \quad \text{mit} \quad \left| \frac{\partial \varepsilon}{\partial x} \right| \sim O(h) \ll 1 \quad (12)$$

ausuchen, die ggf. den Differentialoperator auf der rechten Seite (erheblich) vereinfachen kann. Dies liegt dann eine geschickte "Eichung" vor.

$$g'^{\mu\nu} = \frac{\partial x'^\mu}{\partial x^\alpha} \frac{\partial x'^\nu}{\partial x^\beta} g^{\alpha\beta} = \frac{\partial x'^\mu}{\partial x^\alpha} \frac{\partial x'^\nu}{\partial x^\beta} (\eta^{\alpha\beta} - h^{\alpha\beta})$$

$$= \left( \delta^\mu_\alpha + \frac{\partial \varepsilon^\mu}{\partial x^\alpha} \right) \left( \delta^\nu_\beta + \frac{\partial \varepsilon^\nu}{\partial x^\beta} \right) (\eta^{\alpha\beta} - h^{\alpha\beta})$$

$$\stackrel{!}{=} \eta^{\mu\nu} - h^{\mu\nu} \quad (13)$$

Damit wird

$$\frac{\partial \varepsilon^\mu}{\partial x^\nu} \delta^\nu_\kappa \eta^{\lambda\kappa} = \frac{\partial \varepsilon^\mu}{\partial x^\nu} \eta^{\lambda\nu} = \frac{\partial \varepsilon^\mu}{\partial x^\lambda} \quad (5)$$

$$h^{\lambda\mu\nu} = h^{\mu\nu} - \frac{\partial \varepsilon^\mu}{\partial x^\nu} = \frac{\partial \varepsilon^\nu}{\partial x^\mu} \quad (14a)$$

oder in derselben folgender Ordnung mit Vertauschen des oberen und unteren Indizes mittels Minkowski-Metrik ( $\varepsilon_\mu = \eta_{\mu\alpha} \varepsilon^\alpha$ ,  $x_0 = \eta_{0\beta} x^\beta, \dots$ )

$$\begin{aligned} h'_{\mu\nu} &= h_{\mu\nu} - \frac{\partial \varepsilon_\mu}{\partial x^\nu} - \frac{\partial \varepsilon_\nu}{\partial x^\mu} \\ &= h_{\mu\nu} - \varepsilon_{\mu\nu} - \varepsilon_{\nu\mu} \end{aligned} \quad (14b)$$

Diese Transformation erinnert an die aus Elektrodynamik analoge Eichtransformation  $A^\alpha \rightarrow A'^\alpha = A^\alpha + \partial^\alpha \chi$ . Damit ließ sich durch eine geeignete Wahl des skalaren Feldes  $\chi(x)$  sich die Eichbedingung  $A^\alpha_{,\alpha} = 0$  "erzwingen", so daß die Maxwell-Gleichungen  $\nabla_\beta F^{\beta\alpha} = \frac{4\pi}{c} j^\alpha$  zu  $\square A^\alpha = \frac{4\pi}{c} j^\alpha$  umgeschrieben lässt, i.e. die bekannte Wellengleichung des elektromagnetischen Vektorpotentials.

In Analogie zur Elektrodynamik wird die Transformation des Potentials  $g_{\mu\nu}$  (bzw.  $h_{\mu\nu}$ ) als Eichtransformation der Koordinaten bezeichnet.

Die Koordinatentransformation (12) ändert nicht die Form der Feldgleichungen (14), solange  $\varepsilon^\mu(x)$  hinter dem Komma klein ist. Insbesondere können wir ein sog. harmonisches Koordinatensystem wählen, in dem

$$g^{\mu\nu} \Gamma^{\lambda}_{\mu\nu} \equiv 0 \quad (15)$$

gilt. Diese zusätzliche Bedingung wird auch als Weyl-oder auch Hilbertbedingung bezeichnet.

Diese vorteilhafte "Eichung" bedeutet erst einmal:

$$0 = g^{\mu\nu} \frac{1}{2} \eta^{\lambda\sigma} (h_{\sigma\lambda\mu} + h_{\mu\lambda\sigma} - h_{\mu\sigma\lambda}) \quad \left| \begin{array}{l} \alpha \leftrightarrow \lambda \\ \beta \leftrightarrow \sigma \end{array} \right.$$

$$0 \approx \eta^{\mu\nu} (h_{\lambda\sigma\mu} + h_{\lambda\mu\sigma} - h_{\mu\sigma\lambda})$$

"Fubini'sche  
Ordnung"  $\nearrow$

$$= \eta^{\mu\nu} (h_{\sigma\lambda\mu} + h_{\mu\lambda\sigma} - h_{\mu\sigma\lambda})$$

$$= h^{\mu}{}_{\lambda\mu} + h^{\nu}{}_{\lambda\nu} - h^{\mu}{}_{\mu\lambda} \Rightarrow$$

$$\boxed{2 h^{\mu}{}_{\nu\mu} = h^{\mu}{}_{\mu\nu}}$$

(16)

Physikalische Größen wie z. B. der invariante Abstand  $ds^2$  sind  
von der Wahl der Koordinaten und damit von der Eichung abhängig,

Zwischenenschluß: Können wir diese Eichung (15) bzw. (16) durch Wahl  
eines Koordinatensystems (12) bzw. (14) immer erreichen?

$$(14) \Rightarrow h'^{\mu\nu} = h_{\mu\nu} - \epsilon_{\mu\nu} - \epsilon_{\nu\mu}$$

Damit ist

$$2 h'^{\mu}{}_{\nu\mu} - h'^{\mu}{}_{\mu\nu} = 2 h^{\mu}{}_{\nu\mu} - h^{\mu}{}_{\mu\nu} - 2(\epsilon^{\mu}{}_{\nu\mu} + \epsilon^{\mu}{}_{\mu\nu})$$

$$+ 2 \epsilon^{\mu}{}_{\mu\nu}$$

$$= 2 h^{\mu}{}_{\nu\mu} - h^{\mu}{}_{\mu\nu} - 2 \epsilon^{\mu}{}_{\nu\mu} \stackrel{!}{=} 0$$

Mit  $\epsilon^{\mu}{}_{\nu\mu} = \square \epsilon_{\nu} = 2 h^{\mu}{}_{\nu\mu} - h^{\mu}{}_{\mu\nu}$  könne wir eine  
geschickte Lösung dieses (harmonischen) Wellengleichung eine entsprechende  
Koordinaten Transformation (12) finden, so daß in den gestrichelten  
(neuen) Koordinaten eben dann die Eichbedingung (16) erfüllt sind.

Damit ist die Erreichbarkeit gezeigt. Jede Lösung der Wellengleichung  
gibt dann noch transversale Freiheiten.

Warum ist diese harmonische Eichung so populär? ④

Betrachten wir dazu die linearisierte Einsteingleichung (11) deren linke Seite:

$$\square h_{\mu\nu} + h^{\lambda\rho} \lambda_{\rho\mu\nu} - h^{\lambda\rho} \mu\nu\lambda - h^{\lambda\rho} \nu\lambda\rho\mu =$$

Eichbedingung (16)

$$= \frac{1}{2} (h^{\lambda\rho} \lambda_{\rho\mu\nu} + h^{\lambda\rho} \nu\lambda\rho\mu)$$

$$= \square h_{\mu\nu}$$

und somit wie in der Elektrodynamik die bekannte (harmonische) Wellengleichung

$$\square h_{\mu\nu} = -\frac{16\pi G}{c^4} \left( T_{\mu\nu} - \frac{1}{2} \eta_{\mu\nu} \right) \quad (14)$$

mit der gewählten Eichfixierung

$$\partial_{\lambda\mu} h^{\lambda\nu} = \frac{1}{2} \frac{\partial h^{\lambda\mu}}{\partial x^\nu} \quad (16)$$

Die Lösung der Wellengleichung (14) sind die bekannten retardierten Lennard-Wieler-Potentiale  $V$ :

Retardierung

$$h_{\mu\nu}(x) = -\frac{4G}{c^4} \int d^3r' \frac{S_{\mu\nu}(\vec{r}', t - \frac{|\vec{r} - \vec{r}'|}{c})}{|\vec{r} - \vec{r}'|} \quad (18)$$

mit  $S_{\mu\nu} \equiv T_{\mu\nu} - \frac{1}{2} T \eta_{\mu\nu}$

Wellen breiten sich aus mit Lichtgeschwindigkeit!

(Im Kapitel 11 von Bornes wird auch gezeigt, daß die Lsg (18) auch die Eichfixierung (16) i.d.T. erfüllt...)

Zur Vertiefung: statischer, nichtrelativistischer Grenzfall (vgl. Sect. 11.4.1, S. 46) Ⓟ

Ausgangspunkt ist die linearisierte ART-Bewegungsgleichung (17).  
Wir nehmen an, daß  $T_{\mu\nu}$  statisch sei und nur  $T_{00}$  groß, i.e.  
eine gravierende Materiedichte, i.e.

$$T_{\mu\nu} = \begin{pmatrix} \rho c^2 & 0 & 0 & 0 \\ 0 & \times & \times & \times \\ 0 & \times & \times & \times \\ 0 & \times & \times & \times \end{pmatrix}, \quad T = T^{\mu\nu} g_{\mu\nu} \approx \eta^{\mu\nu} T_{\mu\nu} = \rho c^2$$

Damit wird aus (17)

$$\square h_{\mu\nu} = -\frac{16\pi G}{c^4} \left( \rho c^2 \delta_{\mu 0} \delta_{\nu 0} - \frac{1}{2} \rho c^2 (\delta_{\mu 0} \delta_{\nu 0} - \delta_{\mu 1} \delta_{\nu 1} - \delta_{\mu 2} \delta_{\nu 2} - \delta_{\mu 3} \delta_{\nu 3}) \right)$$

$$\Rightarrow \square h_{00} = -\frac{8\pi G}{c^2} \rho$$

$$\square h_{11} = \square h_{22} = \square h_{33} = -\frac{8\pi G}{c^2} \rho$$

$$\square h_{0i} = \square h_{ij} = 0 \quad \begin{matrix} i \neq j \\ \uparrow \text{keine Quelle} \end{matrix}$$

$$\left. \begin{matrix} |\vec{r}| \rightarrow \infty \\ \text{soll} \\ \text{keine Quellen} \end{matrix} \right\} \begin{matrix} h_{11} = h_{22} = h_{33} \\ h_{ij} = h_{0i} = 0 \end{matrix}$$

Im statischen Grenzfall seien alle  $h_{\mu\nu}$  zeitunabhängig (auch die Quelle),  
damit  $\square \rightarrow (-) \Delta$

$$\Delta h_{00} = \frac{8\pi G}{c^2} \rho \stackrel{\text{Newton}}{\approx} \Delta \left( 2 \frac{\phi_{\text{grav}}(\vec{r})}{c^2} \right) \Rightarrow h_{00} \hat{=} \frac{2\phi_{\text{grav}}(\vec{r})}{c^2}$$

$$\text{und analog } h_{ij} \hat{=} + \frac{2\phi_{\text{grav}}(\vec{r})}{c^2} \delta_{ij}$$

Damit folgt die bekannte Metrik:

$$ds^2 = c^2 dt^2 \left( 1 + \frac{2\phi_{\text{grav}}(\vec{r})}{c^2} \right) - d\vec{r}^2 \left( 1 - 2 \frac{\phi_{\text{grav}}(\vec{r})}{c^2} \right)$$

als Näherung der Schwarzschild-Lösung.



Ein expliziter Check der Eichbedingung (1b) ist mittels

$$h^{\mu}_{\nu} \approx \eta^{\mu\alpha} h_{\alpha\nu} \stackrel{\text{Diagonal}}{\hat{=}} 2 \frac{\phi_{G_{\alpha\beta}}(\vec{r})}{c^2} \begin{pmatrix} \delta_{\mu 0} \delta_{\nu 0} \\ -\delta_{\mu 1} \delta_{\nu 1} \\ -\delta_{\mu 2} \delta_{\nu 2} - \delta_{\mu 3} \delta_{\nu 3} \end{pmatrix}, \quad h^{\mu}_{\mu} = (-1) \frac{\phi_{G_{\alpha\alpha}}}{c^2}$$

$$\nu=0: \quad \frac{\partial}{\partial x^{\mu}} h^{\mu}_{\nu} = \frac{\partial}{\partial x^0} \left( 2 \frac{\phi_{G_{\alpha\alpha}}}{c^2} \right) = 0 = \frac{1}{2} \frac{\partial}{\partial x^0} (\dots)$$

$$\nu=1: \quad \frac{\partial}{\partial x^{\mu}} h^{\mu}_{\nu} = \frac{\partial}{\partial x^1} h^1_{\nu} = \frac{\partial}{\partial x^1} \left( -2 \frac{\phi_{G_{\alpha\alpha}}(\vec{r})}{c^2} \right) = \frac{1}{2} \frac{\partial h^{\mu}_{\mu}}{\partial x^1} \quad \checkmark$$

$\nu=2,3$  analog  
gegeben.

# Gravitationswellen

9

Wie sehen freie gravitative Wellen aus?

In Analogie zu freien elektromagnetischen Wellen

$$A^\alpha = e^\alpha \exp(-i k_\beta x^\beta) + c.c. = e^\alpha \exp(i(\vec{k}\vec{r} - \omega t)) + c.c.$$

$$\text{mit } k_\beta k^\beta = 0 \Leftrightarrow \omega^2 = c^2 k^2, \quad e^\alpha = (0, \vec{e}), \quad \vec{e} \cdot \vec{k} = 0$$

(aufgrund der Eichfreiheit ein Ausschuss der Amplituden)

und zwei linearen Polarisierungen erwarten wir aufgrund der formalen Ähnlichkeit dieselben Lösungen.

Aus (16) und (14) haben wir

$$\square h_{\mu\nu} = 0 \leftarrow \text{"frei", ohne Materie} \quad (19)$$

$$\frac{\partial}{\partial x^\mu} h^\mu{}_\nu = \frac{1}{2} \frac{\partial h^\mu{}_\mu}{\partial x^\nu} \leftarrow \text{Eichbedingung} \quad (16)$$

Wir machen den Ansatz

$$h_{\mu\nu} = \overset{\text{symmetrisch}}{e_{\mu\nu}} \exp(-i k_\lambda x^\lambda) + c.c. \quad (20)$$

Aufgrund von (19) folgt sofort

$$\square = \eta^{\lambda\kappa} \partial_\lambda \partial_\kappa \xrightarrow{(20)} \eta^{\lambda\kappa} k_\lambda k_\kappa = k^\lambda k_\lambda = 0 \Leftrightarrow k_0^2 = \frac{\omega^2}{c^2},$$

also freie Wellen mit Ausbreitungsgeschwindigkeit  $c$ .

Die Eichbedingung (16) ergibt

$$2 k_\mu \eta^{\mu\sigma} e_{\sigma\nu} = k_\nu \eta^{\mu\sigma} e_{\sigma\mu} \quad (21)$$

und ergibt signifikante Einschränkungen der Amplitude  $e_{\mu\nu}$ .

Betrachten wir dazu einfachstfalls eine Welle in  $x^3 = z$ -Richtung: (10)

$$h_{\mu\nu} = e_{\mu\nu} [ik(x^3 - ct)] + c.c., \quad k_1 = k_2 = 0 \quad (21)$$

Aus (21) folgen die Relationen für  $\nu = 0, 1, 2, 3$   $k_0 = -k_3 = k = \frac{\omega}{c}$

$$\nu=0: \quad 2k^3 l_{00} + 2k l_{30} = k (l_{00} - l_{11} - l_{22} - l_{33})$$

$$l_{00} + l_{30} = (l_{00} - l_{11} - l_{22} - l_{33})/2 \quad (22)$$

$$\nu=1: \quad l_{01} + l_{31} = 0$$

$$\nu=2: \quad l_{02} + l_{32} = 0$$

$$\nu=3: \quad l_{03} + l_{30} = - (l_{00} - l_{11} - l_{22} - l_{33})/2$$

Unter Berücksichtigung der Symmetrie  $l_{\mu\nu} = l_{\nu\mu}$  und dieser vier Eichbedingungen kann der Polarisationsvektor  $e_{\mu\nu}$  durch (zunächst) sechs Komponenten festgelegt werden:

$$l_{00}, l_{11}, l_{33}, l_{12}, l_{13}, l_{23}$$

$$\text{und } l_{01} = -l_{31}, l_{02} = -l_{32}, l_{03} = -\frac{l_{00} + l_{33}}{2}, l_{11} = -l_{22}$$

Wir können noch zusätzliche Eichtransformationen, die für freie Wellen lösigen möglich sind (vgl. unten Bemerkungen auf S. 6 unten):

$$x^\mu \rightarrow x'^\mu = x^\mu + \epsilon^\mu(x)$$

$$\hookrightarrow h'_{\mu\nu} = h_{\mu\nu} - \epsilon_{\mu|\nu} - \epsilon_{\nu|\mu}$$

ergibt dann die Eichfixierung (16). Zusätzlich kann aber  $\epsilon^\mu$  selber noch eine freie Lösung sein.

$$\epsilon^\mu(x) = \delta^\mu \exp(-ik_3 x^3) + c.c. \quad (23)$$

$$\hookrightarrow \tilde{h}_{\mu\nu} = h_{\mu\nu} - \epsilon_{\mu|\nu} - \epsilon_{\nu|\mu} = (ik_3 \delta_{\mu\nu} \exp(-ik_3 x^3) + c.c.) + (ik_3 \delta_{\nu\mu} \exp(+ik_3 x^3) + c.c.)$$

erfüllt automatisch die Eichfixierung (16)  $2 \tilde{h}^\mu{}_{\nu|\mu} = \tilde{h}^\mu{}_{\mu|\nu}$

denn  $2(k^\mu k_\nu \delta_\mu + k^\mu k_\mu \delta_\nu) = (k^\mu \delta_\mu) k_\nu + (k^\mu \delta_\mu) k_\nu$   
 ist explizit erfüllt, wenn  $k^\mu k_\mu = 0$ , also freie Wellen.

Dam. + können wir also die Polarisation weiter "umreichen", ohne die Physik zu verändern

$$l_{\mu\nu} \Rightarrow l'_{\mu\nu} = l_{\mu\nu} + ik_\mu \delta_\nu + ik_\nu \delta_\mu$$

mit vier beliebigen Umreichparametern  $\delta_j$  mit nun o.B.d.A.:  $k_1 = k_2 = 0$   
 $k_0 = -k_3 = k = \frac{\omega}{c}$

$$l'_{11} = l_{11}$$

$$l'_{12} = l_{12}$$

$$l'_{13} = l_{13} - ik \delta_1$$

$$l'_{23} = l_{23} - ik \delta_2$$

$$l'_{33} = l_{33} - 2ik \delta_3$$

$$l'_{00} = l_{00} + 2ik \delta_0$$

Die neue Lösung  $l'_{\mu\nu}$  ist physikalisch äquivalent zu  $l_{\mu\nu}$ , da wir nur eine Koordinatentransformation unter Erhaltung der Eichfixierung vorgenommen haben. Durch geeignete Wahl der  $\delta_\mu$  können wir die Amplituden  $l'_{13} = l'_{23} = l'_{33} = l'_{00} \equiv 0$  zu Null machen. Es verbleiben nur zwei unabhängige Amplituden

$$(h_{\mu\nu}) = \begin{pmatrix} 0 & 0 & 0 & 0 \\ 0 & l_{11} & l_{12} & 0 \\ 0 & l_{12} & -l_{11} & 0 \\ 0 & 0 & 0 & 0 \end{pmatrix} \exp(ik(x^3 - ct)) + c.c. \quad (l_{22} = -l_{11}) \quad (24)$$

Dabei haben wir den Strich wieder weggelassen,

Diese Lösung ist zu vergleichen mit den freien Lösungen in der elektromag. Theorie.

zur Vertiefung: Helizität, Gravitonen

Drehung um die  $x^3 = z$ -Achse:  $\Lambda^{\mu}_{\nu} = \begin{pmatrix} 1 & 0 & 0 & 0 \\ 0 & \cos \varphi & \sin \varphi & 0 \\ 0 & -\sin \varphi & \cos \varphi & 0 \\ 0 & 0 & 0 & 1 \end{pmatrix}$   
bedeutet

$$l_{\mu\sigma} = \Lambda^{\rho}_{\mu} \Lambda^{\sigma}_{\nu} l_{\rho\sigma}$$

physikalische  
Phys. Basis  
↓  
Polarisation

und damit für die sechs Komponenten

$$l_{00}, l_{33}, l_{33}, l_{12}, l_{13}, l_{23} \Leftrightarrow l_{00}, l_{33}, f_{\pm} = l_{13} \pm i l_{23}, l_{\pm} = l_{11} \pm l_{12}$$

in...  $l'_{00} = l_{00}$ ,  $l'_{33} = l_{33}$ ,  $f'_{\pm} = \exp(\pm i\varphi) f_{\pm}$ ,  $l'_{\pm} = \exp(\pm 2i\varphi) l_{\pm}$

Das Verhalten  $\psi' = \exp(i\varphi) \psi$  bei Drehung um den Wellenvektor  
berechnet man als Helizität  $H$

In einer quantisierten Theorie wird  $h_{\mu\nu}$  als Wellenfunktion der  
sog. Gravitonen. Esiges Trafo-Verhalten impliziert einen Drehimpuls  
der Gravitonen mit der Projektion  $Hh$  auf die Impulsrichtung,  
i.e.  $\exp(i\varphi)$  wobei  $m$  die Projektion des Bahndrehimpulses  
auf die  $x^3 = z$ -Achse darstellt.  $H = 0, \pm 1, \pm 2$  zeigen, daß die  
Gravitonen mit Spin 2 sind.

$H = \pm 2$  berechnet (siehe auch S.M) die physikalische Polarisation,  
oder einen phys. Zustand. Im Teilchenbild ist der Spindelektor  
parallel oder antiparallel zum Impuls ist.

Ausgang von  $k_{\beta} k^{\beta} = 0$  ist dann für das Teilchen  
mit  $E \pm \hbar\omega$  und  $p = \hbar k$

$$0 = \frac{\omega^2}{c^2} - k^2 \Rightarrow E^2 = c^2 p^2 \hat{=} m^2 c^4 + c^2 p^2,$$

i.e. das Graviton ist masselos.

Die ART ist eine Eichfeldtheorie, daher masselose Quanta.

# Freies Teilchen im Feld einer Gravitationswelle

(13)

$$h_{\mu\nu}(x^3, ct) = \begin{pmatrix} 0 & 0 & 0 & 0 \\ 0 & e_{11} e_{11} & 0 & 0 \\ 0 & e_{12} - e_{21} & 0 & 0 \\ 0 & 0 & 0 & 0 \end{pmatrix} \exp[ik(x^3 - ct)] + c.c. \quad (24)$$

und der zeitabhängigen Metrik

$$ds^2 = (\eta_{\mu\nu} + h_{\mu\nu}(x^3, t)) dx^\mu dx^\nu \quad (25)$$

Ein Teilchen bewegt sich auf der Geodäte  $x^\sigma(\tau)$ :

$$\frac{d^2 x^\sigma}{d\tau^2} = - \Gamma_{\mu\nu}^\sigma \frac{dx^\mu}{d\tau} \frac{dx^\nu}{d\tau}$$

Aus (8) ist

$$\Gamma_{\mu\nu}^\sigma \approx \frac{1}{2} \eta^{\sigma\lambda} \left( \frac{\partial h_{\lambda\mu}}{\partial x^\nu} + \frac{\partial h_{\lambda\nu}}{\partial x^\mu} - \frac{\partial h_{\mu\nu}}{\partial x^\lambda} \right)$$

und damit

$$\Gamma_{00}^i \stackrel{\sigma=i}{\approx} \stackrel{\lambda=i}{=} \frac{1}{2} \left( \frac{\partial h_{0i}}{\partial x^0} + \frac{\partial h_{0i}}{\partial x^0} - \frac{\partial h_{00}}{\partial x^i} \right) = 0$$

• Ein ruhendes Teilchen ( $\dot{x}^i(0) = \frac{dx^i}{d\tau} = 0$ ) verbleibt in Ruhe:  $\frac{d^2 x^i}{d\tau^2} = -\Gamma_{00}^i \dot{x}^0 \dot{x}^0 = 0$ .

Die Welle "erscheint" die Koordinaten eines Teilchen nicht zu verändern.

Für den Krümmungstensor gilt (vgl. (6)):

$$R_{\mu\nu\alpha\beta} \approx \frac{1}{2} (h_{\alpha\mu|\beta\nu} - h_{\beta\mu|\alpha\nu} - h_{\alpha\nu|\beta\mu} + h_{\beta\nu|\alpha\mu})$$

Da  $h$  vier Komponenten ungleich Null besitzt, finden wir z. B.

$$R_{m0n0} \approx \frac{1}{2} \left( \frac{d^2 h_{mn}}{c^2 dt^2} - 0 - 0 - 0 \right) = \frac{1}{2} \frac{d^2 h_{mn}}{c^2 dt^2} \neq 0$$

• Der Raum ist also lokal gekrümmt!

Bleibt das Teilchen wirklich in "Ruhe"? Finden gewählte Koordinaten offensichtlich ja. Betrachten wir aber den physikalischen Abstand von "ruhenden" Teilchen mit

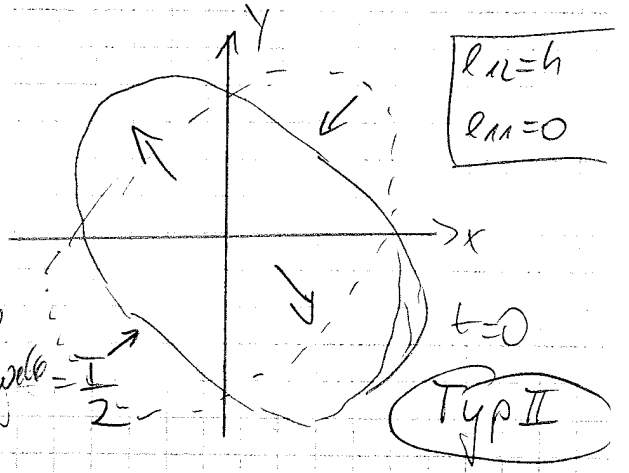
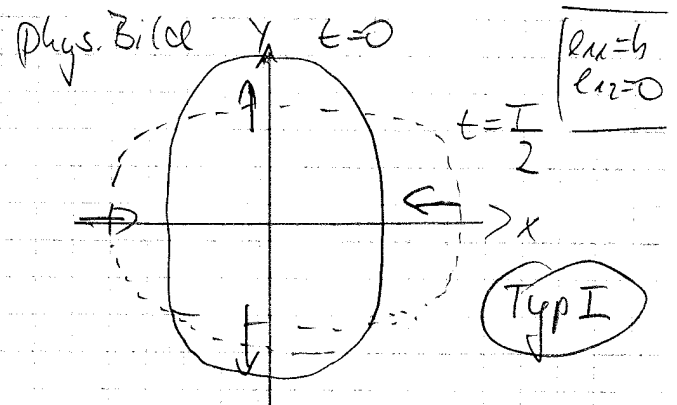
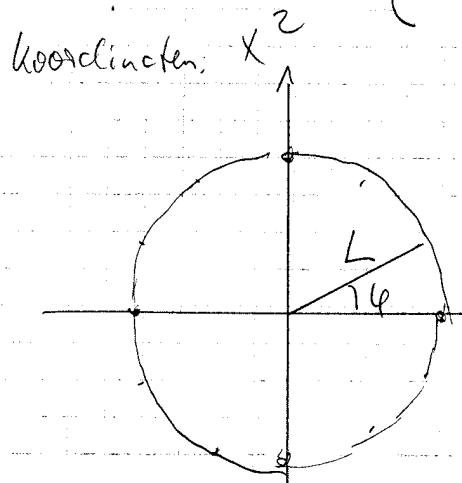
$$x_p^1 = L \cos \varphi, \quad x_p^2 = L \sin \varphi, \quad x_p^3 \stackrel{\Delta}{=} z = 0 \quad (\text{transversale Ebene})$$

Diese Punkte (Teilchen) liegen auf einem transversalen Kreis (für alle Koordinatenzeit  $t$ )

Der Abstand  $\leftarrow$  Raum-Abstand (vgl. (25)) ergibt sich zu:

$$g^2 \left( \stackrel{t=0}{=} -ds^2 \right) = \left[ \delta_{mn} - h_{mn}(t) \right] dx^m dx^n$$

$$\Rightarrow g^2 = L^2 \begin{cases} [1 - 2h \underbrace{\cos^2 \varphi - \sin^2 \varphi}_{\cos 2\varphi} \cos \omega t] & (e_{11}=h, e_{12}=0) \\ [1 - 2h \underbrace{\sin^2 \varphi}_{\sin 2\varphi} \cos \omega t] & (e_{12}=h, e_{11}=0) \end{cases} \quad (26)$$



Die zwei unabh. Polarisationsrichtungen bilden miteinander einen Winkel von  $\frac{\pi}{4}$  (in der E-Dyn.  $\frac{\pi}{2}$ ).  
Diese Auslenkungen bedeuten ein oszillierendes Quadrupolmoment (eines verursachenden, zitternden Massenon (-) (unp)). Umgekehrt regt eine Gravitationswelle  $= \frac{1}{2}$  Quadrupolschwinger ( $\rightarrow$  LIGO) an.

Doppelstern-System (vgl. sp. 16) i. Boo :

$$\frac{|g - \frac{L}{L}|}{L} \sim 10^{-20}$$

# Energie-Impuls-Komplex der Gravitationsstrahlung

(25)

(vgl. Fließbach <sup>Kap 22</sup> Kap 34, Reissner Kap 10.11, Weinberg 10.3)

Für schwache Gravitationsfelder bzw. Strahlung im Ausserraum

$$g_{\mu\nu} = \eta_{\mu\nu} + h_{\mu\nu} \quad \text{mit } |h_{\mu\nu}| \ll 1$$

denken wir uns den Ricci-Tensor (und das Riemannsche Krümmungstensor) in  
weitere Ordnungen von  $h$ :

$$R_{\mu\nu} = R_{\mu\nu}^{(1)} + R_{\mu\nu}^{(2)} + \dots \quad (27)$$

$$\left( R \frac{g_{\mu\nu}}{2} \right) = \left( R \frac{g_{\mu\nu}}{2} \right)^{(1)} + \left( R \frac{g_{\mu\nu}}{2} \right)^{(2)} + \dots$$

Die erste Ordnung  $\mathcal{O}(h)$  ergibt dann die linearisierten Feldgleichungen (11).  
Was ist die zweite Ordnung? Wir können diese (zunächst formal) als die  
Feldenergie-Impuls-Tensor interpretieren:

$$R_{\mu\nu}^{(1)} - \frac{R^{(1)}}{2} \eta_{\mu\nu} = -\frac{8\pi G}{c^4} T_{\mu\nu} \quad (11)$$

$$R_{\mu\nu}^{(2)} - \left( R \frac{g_{\mu\nu}}{2} \right)^{(2)} \stackrel{!}{=} \frac{8\pi G}{c^4} t_{\mu\nu} \quad (28)$$

und damit als verbesserte Feldgleichung bis Ordnung  $\sim \mathcal{O}(h^2)$

$$R_{\mu\nu}^{(1)} - \frac{R^{(1)}}{2} \eta_{\mu\nu} = -\frac{8\pi G}{c^4} \underbrace{(T_{\mu\nu} + t_{\mu\nu})}_{T_{\mu\nu} = T_{\mu\nu}^{(matter)} + t_{\mu\nu}^{(field)}} \quad (11')$$

Der Term  $(-\frac{8\pi G}{c^4}) t_{\mu\nu}$  würde dann die Selbstwechselwirkung der Feldgleichung  
effektiv mit berücksichtigen. Die sind natürlich quadratisch klein... und zu  
vernachlässigen. Aber: Die formale Auslegung lehrt uns die (effektive) Form  
des möglichen Energie-Impuls-Tensor der Gravitationsfelder in  
führender Ordnung - eine sehr interessante Sichtweise.



Man kann nun zeigen bzw. argumentieren, dass bis  $O(h^2)$  auch der effektive, zusammenfassende Energie-Impuls-Tensor (vgl. Anhang (16a))

$$\partial^\mu T_{\mu\nu} = \partial^\mu (T_{\mu\nu}^{mct} + T_{\mu\nu}^{gpc}) = 0 \text{ bis } O(h^2) \quad (28)$$

Energie-Impuls-Tensor erhält, i.e. es gilt bis  $O(h^2)$  Energieerhaltung. Das ist wichtig, um später Energieargumente bei der Gravitationsstrahlung der rotierenden Doppel-Sterne verwenden zu können.

Für den Linsendatum, wo  $T_{\mu\nu}^{mct} = 0$ , gilt ja  $R_{\mu\nu}^{(1)} = 0$  bzw.  $G_{\mu\nu}^{(1)} = 0$  und  $R = g^{\rho\sigma} R_{\rho\sigma} = \eta^{\rho\sigma} R_{\rho\sigma} - h^{\rho\sigma} R_{\rho\sigma}$  (30)

Dann ist

$$T_{\mu\nu}^{gpc} = \frac{c^4}{16\pi G} \left[ 2R_{\mu\nu}^{(2)} - \eta_{\mu\nu} \eta^{\sigma\rho} R_{\rho\sigma}^{(2)} + \eta_{\mu\nu} h^{\rho\sigma} R_{\rho\sigma}^{(1)} - h_{\mu\nu} \eta^{\rho\sigma} R_{\rho\sigma}^{(1)} \right] \quad (31)$$

$$= \frac{c^4}{16\pi G} \left[ 2R_{\mu\nu}^{(2)} - \eta_{\mu\nu} \eta^{\sigma\rho} R_{\rho\sigma}^{(2)} \right] \quad (31)$$

Der Ricci-Tensor  $R_{\mu\nu}^{(2)}$

$$R_{\mu\nu}^{(2)} = (g^{\lambda\rho} R_{\lambda\mu\rho\nu})^{(2)} = \eta^{\lambda\rho} R_{\lambda\mu\rho\nu}^{(2)} - h^{\lambda\rho} R_{\lambda\mu\rho\nu}^{(1)}$$

wo Sei (vgl. (6))

$$R_{\lambda\mu\rho\nu} = \frac{1}{2} \left( \frac{\partial^2 g_{\lambda\rho}}{\partial x^\mu \partial x^\nu} + \frac{\partial^2 g_{\mu\nu}}{\partial x^\lambda \partial x^\sigma} - \frac{\partial^2 g_{\lambda\nu}}{\partial x^\mu \partial x^\sigma} - \frac{\partial^2 g_{\lambda\sigma}}{\partial x^\mu \partial x^\rho} \right) \quad (6)$$

$$+ g_{\lambda\rho} \left( \Gamma_{\nu\lambda}^\mu \Gamma_{\mu\rho}^\sigma - \Gamma_{\nu\rho}^\mu \Gamma_{\mu\lambda}^\sigma \right)$$

da (5), (8)

$$\Gamma_{\mu\nu}^\sigma \rightarrow \Gamma_{\mu\nu}^{(1)\sigma} = \frac{1}{2} \left[ \frac{\partial h_{\mu\nu}^\sigma}{\partial x^\rho} + \frac{\partial h_{\nu\rho}^\sigma}{\partial x^\mu} - \frac{\partial h_{\mu\rho}^\sigma}{\partial x^\nu} \right]$$

wird

Achtung

(16a) (1)

Übende auf Geischo Energieerhaltung bis einschliesslich Ordnung  $\alpha h^2$

ART:  $Q_{\mu\nu} = \frac{1}{2} Q_{g_{\mu\nu}} \equiv G_{\mu\nu} = \frac{8\pi G}{c^4} T_{\mu\nu}$

Ordnung:  $g_{\mu\nu} = \eta_{\mu\nu} + h_{\mu\nu}, \quad |h_{\mu\nu}| \ll 1$

$\frac{8\pi G}{c^4} |T_{\mu\nu}| \sim O(h) \ll 1$   
 $\leftarrow$  schwache Quelle

Dieseschwerpunkt:

$\partial^\mu G_{\mu\nu} = 0, \quad \partial^\mu T_{\mu\nu} = 0$

$\partial = \partial^\mu + \Gamma^\alpha_\beta$   
 $\uparrow$  fehlende Ordnung  $\uparrow \alpha h$

Verteile:  $G_{\mu\nu} = G_{\mu\nu}^{(1)} + \Delta G_{\mu\nu}^{(2,3,\dots)}$   
 $\uparrow O(h^2 + \dots)$

fehlende Ordnung:

$G_{\mu\nu}^{(1)} = \frac{8\pi G}{c^4} T_{\mu\nu} \quad ; \quad \sim O(h) \quad ; \quad (*)$

$\partial^\mu G_{\mu\nu} = (\partial^\mu + \Gamma^\alpha_\beta) (G_{\mu\nu}^{(1)} + \Delta G_{\mu\nu}^{(2,\dots)}) = \frac{8\pi G}{c^4} (\partial^\mu T_{\mu\nu})$

$\Rightarrow \underbrace{\partial^\mu G_{\mu\nu}^{(1)}}_{\equiv 0 \text{ (weil auch fehlend und identisch in Ordnung h)}} = \frac{8\pi G}{c^4} \left( \underbrace{\partial^\mu T_{\mu\nu}}_{= 0 \text{ in Ordnung h aus } (*)} + \Gamma^\alpha_\beta T_{\mu\nu} - \frac{c^4}{8\pi G} G_{\mu\nu}^{(1)} \right) = \frac{8\pi G}{c^4} (\partial^\mu T_{\mu\nu} + \Gamma^\alpha_\beta T_{\mu\nu})$   
 $\underbrace{\left( \Gamma^\alpha_\beta T_{\mu\nu} - \frac{c^4}{8\pi G} G_{\mu\nu}^{(1)} \right)}_{\equiv 0 \text{ wegen } (*) \text{ exakt}}$

Damit ist auch

(166) (2)

$$\partial^\mu \left( T_{\mu\nu} - \frac{c^4}{8\pi G} \Delta G_{\mu\nu}^{(2)} \right) = 0 \quad (**)$$

gilt auch (wenigstens) bis einschließen 2. Ordnung  $O(h^2)$ .

Damit gilt

$$\tilde{T}_{\mu\nu} = T_{\mu\nu} - \frac{c^4}{8\pi G} \Delta G_{\mu\nu}^{(2)} \equiv T_{\mu\nu} + t_{\mu\nu}^{G_{(2)}}$$

$$\text{mit } t_{\mu\nu}^{G_{(2)}} = \left( -\frac{c^4}{8\pi G} \right) \Delta G_{\mu\nu}^{(2)} \quad (***)$$

$t_{\mu\nu}^{G_{(2)}}$  ist dann der "freie" Energie-Impulstensor  $O(h^2)$  des Gravitationsfeldes in führender, nichttriviale Ordnung  $O(h^2)$ . Höhere Terme sind dann nicht berücksichtigt.

Aufgrund (\*\*\*) gilt insbesondere lokal die strenge Energieerhaltung bis einschließlich  $O(h^2)$ .

Damit gelten eben auch unsere Energieargumente bei der Abschätzung von gravitativer Abschätzung in Form von Gravitationswellen bis  $O(h^2)$ .

$$R_{\mu\nu}^{(2)} = -\frac{\hbar^2}{2} \left( \frac{\partial^2 h_{\lambda\nu}}{\partial x^\mu \partial x^\lambda} + \frac{\partial^2 h_{\mu\lambda}}{\partial x^\nu \partial x^\sigma} - \frac{\partial^2 h_{\mu\nu}}{\partial x^\lambda \partial x^\lambda} - \frac{\partial^2 h_{\lambda\lambda}}{\partial x^\mu \partial x^\sigma} \right) \quad (31)$$

$$+ \frac{1}{4} \left[ \frac{\partial h^\sigma_\sigma}{\partial x^\nu} + \frac{\partial h^\sigma_\sigma}{\partial x^\nu} - \frac{\partial h^\sigma_\sigma}{\partial x^\sigma} \right] \left[ \frac{\partial h^\sigma_\mu}{\partial x^\lambda} + \frac{\partial h^\sigma_\lambda}{\partial x^\mu} - \frac{\partial h_{\mu\lambda}}{\partial x^\sigma} \right] \quad (32)$$

$$\begin{matrix} \nearrow & & \nwarrow \\ \eta^{\lambda\nu} & \eta_{\sigma\sigma} & \Gamma^\sigma_{\nu\lambda} \end{matrix}$$

$$- \frac{1}{4} \left[ \frac{\partial h_{\sigma\lambda}}{\partial x^\nu} + \frac{\partial h_{\sigma\nu}}{\partial x^\lambda} - \frac{\partial h_{\lambda\nu}}{\partial x^\sigma} \right] \left[ \frac{\partial h^\sigma_\mu}{\partial x^\lambda} + \frac{\partial h^{\sigma\lambda}}{\partial x^\mu} - \frac{\partial h^\lambda_\mu}{\partial x^\sigma} \right]$$

$$\begin{matrix} \nwarrow & & \nearrow \\ \eta_{\sigma\sigma} & \Gamma^\sigma_{\nu\lambda} & \eta^{\lambda\nu} \end{matrix}$$

Aufgrund der Eichbedingung (16):  $2h^\nu_{\sigma\nu} = h^\nu_{\nu\sigma}$   
 verschwindet die erste Klammer  $(\eta^{\lambda\nu} \eta_{\sigma\sigma} \Gamma^\sigma_{\nu\lambda})$ , i.e. auch die Bedingung (15)  
 $\eta^{\lambda\nu} \Gamma^\sigma_{\nu\lambda} \equiv 0$ .

Die anderen Terme sind quadratisch in  $h$ , typisch für einen Energie-Impulstensor.  
 Für eine ebene Gravitationswelle, i.e. (20),  $h_{\mu\nu} \hat{=} [\bar{e}_{\mu\nu} \exp(-ik_\lambda x^\lambda) + c.c.]$ ,  
 entstehen Terme ohne Oszillation oder ider Phase  $\exp(\pm i2k_\lambda x^\lambda)$ .

Eine zeitliche Mittelung lässt nur die koordinaten unabhängige Terme  
 "überleben":  $[ ] [ ] \hat{=} 2 \text{Re}(e^* \cdot e)$

Insgesamt wird aus (25) mit  $\frac{\partial}{\partial x^\lambda} (\dots) = -ik_\lambda (\dots)$

$$\langle R_{\mu\nu}^{(2)} \rangle = \text{Re} \left[ e^{\lambda\nu} * \left[ k_\mu k_\lambda e_{\lambda\nu} + k_\lambda k_\nu e_{\mu\lambda} - k_\lambda k_\nu e_{\mu\nu} - k_\mu k_\lambda e_{\lambda\lambda} \right] \right. \\ \left. - \text{Re} \left[ \frac{1}{2} \left[ k_\lambda e_{\sigma\lambda} + k_\lambda e_{\sigma\lambda} - k_\sigma k_\lambda \right] \left[ k^\lambda e_\mu + k_\mu e^{\sigma\lambda} - k^\sigma e_\mu \right] \right] \right]$$

Aufgrund der Eichbedingung (21)  $2k_\mu e^{\mu\nu} = k^\nu e^\lambda_\lambda$

lässt sich  $\langle R_{\mu\nu}^{(2)} \rangle$  weiter vereinfachen,

$$\text{z.B. } e^{\lambda\nu} * k_\lambda k_\lambda e_{\mu\nu} = \frac{1}{2} k^\nu k_\lambda k_\lambda e_{\mu\nu} = \frac{1}{4} k_\mu k_\lambda |e^\lambda_\lambda|^2$$

Unter Beachtung von  $k^i k_i = 0$ , i.e. die Dispersionsrelation der Gravitationswellen, wird (14)

$$\langle R_{\mu\nu}^{(2)} \rangle = \frac{k_\mu k_\nu}{2} \left( e^{2i\alpha} e_{\alpha\beta} - \frac{1}{2} |e^{\alpha\beta}|^2 \right) \quad (33)$$

(Note: In (34, 22) in Fließbach ist hier ein Fehler. Es fehlt ein Faktor  $(\frac{1}{2})$ . (26) stimmt mit Weinberg (10.3.4) überein. Von den 13 Termen sind 3 identisch Null aufgrund der Massentelation, 2 Terme geben erst Term von (33), 8 Terme geben den zweiten Term in (33). Mit etwas Übung sieht man das...)

Aus (31) lautet der 2-te Term von  $t_{\mu\nu}^{grav}$ :

$$\begin{aligned} (t_{\mu\nu}^{grav})_{2\text{-ter}} &\sim (-) \eta_{\mu\alpha} \eta^{\beta\gamma} R_{\beta\gamma}^{(2)} \\ &\stackrel{(26)}{\sim} (-) \eta_{\mu\alpha} (\underbrace{\eta^{\beta\gamma} k_\beta k_\gamma}_{k^\beta k_\beta = 0}) \frac{1}{2} ( ) \equiv 0 \end{aligned}$$

und damit es verbleibt der 1-te Term

$$t_{\mu\nu}^{grav} = \frac{c^4}{16\pi G} 2 R_{\mu\nu}^{(2)} \stackrel{(33)}{=} \frac{c^4}{16\pi G} k_\mu k_\nu \left( e^{2i\alpha} e_{\alpha\beta} - \frac{1}{2} |e^{\alpha\beta}|^2 \right) \quad (34)$$

Speziell für die Welle (24) in z-Richtung (z.B.  $e^{\alpha\beta} = 0$ ):

$$t_{\mu\nu}^{grav} = \frac{c^4}{8\pi G} k_\mu k_\nu \left( |e_{12}|^2 + |e_{21}|^2 \right) \geq 0 \quad (!) \quad (35)$$

(Note: (34) und (35) stimmen wieder bei Fließbach und Weinberg überein)

## Nachtrag: Andere Konstruktion des Energie-Impuls-Tensors $t_{\mu\nu}^{\text{grav}}$ (18a)

Ein (vermeintlich) anderer Zugang zum (freien) Energie-Impuls-Tensor  $t_{\mu\nu}^{\text{grav}}$  des Gravitationsfeldes ist als Startpunkt eine Lagrange-Formulierung, welche in der linearisierten Feldgleichung (14) des Feldes  $h_{\mu\nu}(x)$  resultiert. Die Konstruktion geht strikt forward (vgl. Sexl (11.20) & (11.22), Goenner (11.24)). Nach Sexl (11.20)  $\rightarrow 2\mathcal{L}_{\mu\nu}^{\text{lin}}(h_{\mu\nu})$  (vgl. auch Goenner (11.22)):

$$\mathcal{L} = \frac{1}{(8\pi G)} \left( \frac{1}{8} h^{\alpha\beta,\gamma} h_{\alpha\beta,\gamma} - \frac{1}{4} h^{\alpha\gamma,\beta} h_{\beta\gamma,\alpha} - \frac{1}{8} (h_{\alpha}^{\lambda}{}_{,\beta} h^{\beta}{}_{,\lambda})^{\alpha\beta} - h^{\alpha\beta}{}_{,\gamma} (h^{\gamma}{}_{,\alpha})_{,\beta} \right) - T_{\mu\nu}^{\text{mat}} h^{\mu\nu}$$

$\leftarrow$  lineare Kopplung

Aus  $\mathcal{L}$  lassen sich die Feldgleichungen über die Euler-Lagrange-Gl.

$$\frac{\partial \mathcal{L}}{\partial h^{\mu\nu}} - \frac{\partial}{\partial x^{\rho}} \left( \frac{\partial \mathcal{L}}{\partial h^{\mu\nu}{}_{,\rho}} \right) = 0$$

Gewinnen. Aus dem "freien" Gravitationsanteil folgt dann sofort der Energie-Impulstensor über

$$t_{\mu}^{\nu} = h^{\alpha\beta}{}_{,\gamma} \frac{\partial \mathcal{L}}{\partial h^{\alpha\beta}{}_{,\gamma}} - \mathcal{L} \delta_{\mu}^{\nu} \stackrel{!}{=} (t_{\mu}^{\nu})^{\text{grav}}$$

Es zeigt sich (vgl. N. Straumann, Kap 4.4.3), dass dieser Energie-Impuls-Tensor der in der oben diskutierten Definition über  $\Delta G_{\mu\nu}^{(2)}$  entspricht? Das ist nicht trivial und wichtig.

Obige Lagrange-Sprache definiert dann auch sofort die Energie-Impuls-Erhaltung der linearisierten Theorie:

$$\partial^{\mu} (T_{\mu\nu}) = \partial^{\mu} (T_{\mu\nu}^{\text{mat}} + t_{\mu\nu}^{\text{grav}}) \equiv 0$$

# Asymptotische Felder von zeitlich veränderlichen Materiequellen

Sei eine gegebene, begrenzte, zeitabhängige Massenverteilung  $\rightarrow$  keine Stacheln...  
 eine Frequenz?  $\rightarrow$  negativ?  $\rightarrow$  keine Stacheln...

$$T_{\mu\nu}(\vec{r}, t) \hat{=} \bar{T}_{\mu\nu}(\vec{r}) \exp(-i\omega t) + c.c. \quad \begin{cases} \neq 0 & (|\vec{r}| \leq r_0) \\ = 0 & (r > r_0) \end{cases} \quad (36)$$

Nach (18) haben wir die Lösung der zeitabh. Störungen der Metrik

$$h_{\mu\nu}(\vec{r}, t) = - \frac{4G}{c^4} \exp(-i\omega t) \int d^3r' S_{\mu\nu}(\vec{r}') \frac{\exp(ik|\vec{r}-\vec{r}'|)}{|\vec{r}-\vec{r}'|} + c.c. \quad (37)$$

Retardierbare Faktoren:  $S_{\mu\nu}(t - \frac{|\vec{r}-\vec{r}'|}{c}) \approx e^{-i\omega(t - \frac{|\vec{r}-\vec{r}'|}{c})} = e^{-i\omega t} e^{i\omega \frac{|\vec{r}-\vec{r}'|}{c}}$  mit  $k = \frac{\omega}{c}$

und  $S_{\mu\nu} = T_{\mu\nu} - \eta_{\mu\nu} \frac{T}{2}$

Unter der Annahme

$$r_0 \ll \lambda \ll r \quad \leftarrow \text{Dipolnäherung} \quad (38)$$

$\uparrow$  Wellenlänge  $\sim \frac{2\pi}{k} = 2\pi \frac{c}{\omega}$       $\uparrow$  Fernfeld

wollen wir die Gravitations (ab-)s Abstrahlung berechnen:

$$k|\vec{r}-\vec{r}'| = k \sqrt{r^2 - 2r\vec{r}' \cdot \hat{r} + r'^2} \approx kr \sqrt{1 - \frac{2\vec{r}' \cdot \hat{r}}{r}} \approx kr \left(1 - \frac{\vec{r}' \cdot \hat{r}}{r}\right) = kr - (k\vec{r}' \cdot \hat{r}) \approx kr - \vec{k} \cdot \vec{r}'$$

$$h_{\mu\nu}(\vec{r}, t) \approx - \frac{4G}{c^4} \frac{\exp(i(kr - \omega t))}{r} \int d^3r' S_{\mu\nu}(\vec{r}') \exp(-i\vec{k} \cdot \vec{r}') + c.c.$$

$$= - \frac{4G}{c^4} \frac{\exp(-i k r x^2)}{r} S_{\mu\nu}(\vec{k}) + c.c. \quad \text{mit } k\vec{r} = \left(\frac{\omega}{c}, \vec{k} = k \frac{\vec{r}}{r}\right) \quad (39)$$

Interpretation  $\rightarrow$

Fourier-Transformation der räuml. Verteilung des Quotienten

$$\hat{=} \bar{h}_{\mu\nu}(\vec{r}, \omega) \exp(-i k r x^2) + c.c. \quad (r \gg r_0)$$

$$\Rightarrow \bar{h}_{\mu\nu}(\vec{r}, \omega) = - \frac{4G}{c^4 r} S_{\mu\nu}(\vec{k}) = - \frac{4G}{c^4 r} \left( T_{\mu\nu}(\vec{k}) - \frac{T(\vec{k})}{2} \eta_{\mu\nu} \right) \quad (40)$$

Der durch das Flächenelement  $r^2 d\Omega$  gehende Energiestrom  $dP$  ist

$$dP = c \overset{\text{grav}}{t_{0i}} df^i = c \overset{\text{grav}}{t_{0i}} \frac{x^i}{r} r^2 d\Omega$$

und der abgeleiteten Beziehung (34) wird für die Leistung pro Raumwinkel

$$\frac{dP}{d\Omega} = c \frac{c^4}{16\pi G} k_0 \frac{k_i x^i}{r} r^2 \left( e^{2i\omega t} e^{i\vec{k}\cdot\vec{r}} - \frac{1}{2} |e^{i\vec{k}\cdot\vec{r}}|^2 \right)$$

Im vorherigen Abschnitt waren die Amplituden  $h_{\mu\nu}$  konstanten, d.h. ebene Wellen, keine Kugelwellen. Da Energie-Impuls-Tensor enthält part. Ableitungen der  $h_{\mu\nu}$  sind konstante Amplituden ergeben diese Ableitungen jeweils Faktoren  $k_{\mu} \sim \frac{1}{\lambda}$ . Da hier  $h_{\mu\nu} \sim \frac{1}{r}$  zusätzlich von  $r$  abhängt, ergeben sich weitere Terme mit einem weiteren Faktor  $\frac{1}{r}$ , die aber für  $r \gg \lambda$  im entfernten Raumbereich unterschätzt und vernachlässigbar sind.) Damit mit (40) und etwas Rechnen

$$\frac{dP}{d\Omega} = \frac{G \omega^2}{\pi c^5} \left( T_{\hat{r}\hat{r}}(\vec{k}) T_{\hat{r}\hat{r}}(\vec{k}) - \frac{1}{2} |T(\vec{k})|^2 \right) \quad (41)$$

$$\text{mit } k_0 = \frac{\omega}{c}, \quad \frac{k_i x^i}{r} = \vec{k} \cdot \frac{\vec{r}}{r} = k \hat{r} \cdot \hat{e}_i = k = \frac{\omega}{c}$$

Damit ist die Leistung der Gravitationsstrahlung durch die "Fourier transformierten"  $T_{\mu\nu}(\underline{k})$  der Quellverteilung ausgedrückt. Dieses wichtige (Zwischen-)Ergebn lässt sich mittels der "Kontinuitätsgleichung" des Energie-Impuls-Tensors (von Ordnung  $\alpha^2$ ) auf sein räumliche Komponenten umschreiben. Zunächst ist

$$T^{\mu\nu}(\vec{r}, t) = \frac{1}{2\pi} \int d^3k T^{\mu\nu}(\underline{k}) \exp(-i k_\alpha x^\alpha) + c.c. \quad (42)$$

Der Energie-Impuls-Erhaltungssatz lautet

$$T^{\mu\nu}_{;\nu} = 0 \Rightarrow \partial_\nu T^{\mu\nu} = 0 \Rightarrow k_\nu T^{\mu\nu}(\underline{k}) = 0 \quad (43)$$



Speziell für  $\mu=0$  und  $\mu=c$  wird

(2)

$$k_0 T^{\infty}(k) = -k_j T^{0j}(k) \quad \text{und} \quad \hat{k}_0 T^{i0}(k) = -k_j T^{ij}(k)$$

Mit der Konvention  $\hat{k}_\nu = \frac{k_\nu}{k_0}$  heisst dies

$$T^{i0} = T^{0i}(k) = -\hat{k}_j T^{ij} \quad \text{und} \quad T^{\infty} = \hat{k}_\nu \hat{k}_j T^{ij}(k)$$

Damit findet man im Einzelnen

$$\begin{aligned} T^{\mu 0} * T_{\mu 0} &= \eta_{\mu\sigma} \eta_{\nu\tau} T^{\mu 0} * T^{\nu\sigma} = T^{\infty} * T^{\infty} - 2 \sum_i T^{0i} * T^{0i} + \sum_{ij} T^{ij} * T^{ij} \\ &= \hat{k}_i \hat{k}_j \hat{k}_k \hat{k}_m T^{ij} * T^{km} - 2 \hat{k}_j \hat{k}_m \delta_{il} T^{ij} * T^{lm} + \delta_{il} \delta_{jm} T^{ij} * T^{lm} \end{aligned}$$

$$T^{\lambda\lambda} = \eta_{\lambda\sigma} T^{\sigma\lambda} = T^{\infty} - \sum_i T^{ii} = \hat{k}_i \hat{k}_j T^{ij} - \delta_{ij} T^{ij}$$

$$\begin{aligned} |T^{\lambda\lambda}|^2 &= \hat{k}_i \hat{k}_j \hat{k}_k \hat{k}_m T^{ij} * T^{km} - \delta_{ij} \hat{k}_k \hat{k}_m T^{ij} * T^{km} - \delta_{lm} \hat{k}_i \hat{k}_j T^{ij} * T^{lm} \\ &\quad + \delta_{ij} \delta_{lm} T^{ij} * T^{lm} \end{aligned}$$

Damit wird aus (41)

$$\frac{dP}{d\Omega} = \frac{G\omega^2}{\pi c^5} \Lambda_{ijklm} T^{ij} *(\underline{k}) T^{lm}(\underline{k}) \quad (44)$$

$$\begin{aligned} \text{mit} \quad \Lambda_{ijklm}(\theta, \varphi) &= \delta_{il} \delta_{jm} - \frac{1}{2} \delta_{ij} \delta_{lm} - 2 \delta_{il} \hat{k}_j \hat{k}_m + \frac{1}{2} \delta_{ij} \hat{k}_k \hat{k}_m \\ &\quad + \frac{1}{2} \delta_{lm} \hat{k}_i \hat{k}_j + \frac{1}{2} \hat{k}_i \hat{k}_j \hat{k}_k \hat{k}_m \\ &\quad \text{Abstrahlwinkel} \\ &\quad \text{von } \underline{k} \end{aligned}$$

# Quadrupolabstrahlung (in der Langwellenlängennäherung) (22)

Wegen  $\lambda \gg r_0$  können wir schreiben  
 (abs. Funktion  $\rightarrow$  abs., falls  $\omega \ll (\frac{r_0}{c})$  physikalisch bedingt, dann okay)

$$T^{ij}(\underline{k}) = \int d^3r T^{ij}(\vec{r}) \exp(-i\underline{k}\vec{r}) = \int d^3r T^{ij}(\vec{r}) \underbrace{(1 - i\underline{k}\vec{r} + \dots)}_{|\underline{k}\vec{r}| \ll 1}$$

$$\approx \int d^3r T^{ij}(\vec{r}) \equiv -\frac{\omega^2}{2} Q^{ij} \quad (45)$$

Diese Definition werden wir nun physikalisch interpretieren bzw. umformen.  
 Aus  $T^{00} = 0$  (wie oben auf S. 21)

$$\partial_j T^{ij}(\vec{r}, t) = -\partial_0 T^{i0}(\vec{r}, t) \quad \text{und} \quad \partial_i T^{0i}(\vec{r}, t) = -\partial_0 T^{00}(\vec{r}, t)$$

$$\Rightarrow \partial_i \partial_j T^{ij}(\vec{r}, t) = \partial_0^2 T^{00}(\vec{r}, t) \quad \leftarrow \text{ansatz } e^{-i\omega t} + c.c.$$

und kürzen des Faktors  $e^{\pm i\omega t}$  des Ansatzes (36)

$$\partial_i \partial_j T^{ij}(\vec{r}) = (-) \frac{\omega^2}{c^2} T^{00}(\vec{r})$$

Somit folgt aus (45)

$$Q^{ij} = -\frac{2}{\omega^2} \int d^3r T^{ij}(\vec{r}) \quad \leftarrow \text{part. Integration, an alle des Trägers, keine Oberfläche!}$$

$$= -\frac{2}{\omega^2} \int d^3r x^i x^j (\partial_k \partial_l T^{kl}(\vec{r}))$$

$$= \frac{1}{c^2} \int d^3r x^i x^j T^{00}(\vec{r}) \stackrel{\text{Definition des Quadrupoltensor}}{\hat{=}} \int d^3r x^i x^j \rho(\vec{r}) \quad (46)$$

Die Größe  $Q^{ij}$  ist der Quadrupol tensor der räumlichen  
 Verteilung der Massenverteilung. Mit (45) wird aus (44) dann

$$\frac{dP}{d\Omega} = \frac{G \omega^6}{4\pi c^5} \Lambda_{ij,lm} Q^{ij*} Q^{lm} \quad (47)$$

Das heißt, eine zeitabhängige Quadrupolbewegung ( $\sim e^{i\omega t}$ )  
 trigger eine gravitative Strahlung!

$\omega$  bedeutet  $(\frac{\partial}{\partial t})^3 Q^{ij*} \cdot (\frac{\partial}{\partial t})^3 Q^{lm}$ , wie in vielen Lehrbüchern  
 (z.B. Serflinger, Goenner, ...) angegeben.

Um die gesamte abgestrahlte Leistung zu erhalten, muß (44) über alle Winkel integriert werden.

Typischerweise (ohne Beweis, vgl. Fienberg) ist für eine Quadrupolstrecke

$$\frac{dP}{d\Omega} = a_1 \cos^4 \theta + a_2 \cos^2 \theta + a_3, \quad \theta = \text{Azimutalwinkel}$$

Deriv ist straight forward, aber ohne weitere Ausföhrung, das Ergebnis

$$P = \int d\Omega \frac{dP}{d\Omega} \stackrel{(44)}{=} = \frac{2G\omega^6}{5c^5} \left( \sum_{i,j=1}^3 |Q^{ij}|^2 - \frac{1}{3} \left| \sum_{i=1}^3 Q^{ii} \right|^2 \right) \quad (48)$$

(Note: Serflingbauthe hat in seiner Bilanz (6.33)

einen Wert  $-\frac{dE}{dt} = \frac{G}{5c^5} \overset{\dots \text{tr}}{Q_{\alpha\beta}} \overset{\dots \text{tr}}{Q_{\alpha\beta}}$ , also deshalb Wert ...?

Quellen der Gravitationsstrahlung (Skizzenhaft, vgl. Hienbach) (24)

→ als mögliche Quellen rotierender, gravitierender Systeme:

- Wasserstoffatom, allgemeines Rotator, rotierendes Becken, Doppelsystem, Pulsar, ... LIGO

Wasserstoffatom

$$F_{\text{at}} = \hbar \omega_{\text{at}} \approx \frac{e^2}{a_B} = \alpha^2 m_e c^2$$

$\frac{m v^2}{a_B} \approx \frac{e^2}{a_B^2}$ ,  $L = m v a_B \approx \hbar \Rightarrow a_B = \frac{\hbar^2}{m_e e^2}$   
 $\frac{e^2}{\hbar c} = 1/137$

elektromagnetische Dipolstrahlung: Dipolmoment  $p \approx e a_B$

$$P_{\text{em}} \approx \frac{\omega^4}{3c^3} p^2 \quad (\text{vgl. Lehrbuch E-Dynamik, Seibass (48)})$$

⇒ Lebensdauer eines angeregten Zustandes (Größenordnung):

$$\tau_{\text{em}} \approx \frac{F_{\text{at}}}{P_{\text{em}}} \approx \frac{e^2}{a_B} \frac{c^3}{\omega^4 e^2 a_B^2} = \frac{\alpha^{-3}}{\omega_{\text{at}}} \approx 10^{-10} \text{ s}$$

gravitative Quadrupolstrahlung: Quadrupolmoment  $Q \approx m_e a_B^2$

$$\tau_{\text{grav}} \approx \frac{F_{\text{at}}}{P_{\text{GW}}} \approx \frac{e^2}{a_B} \frac{c^5}{\omega_{\text{at}}^6 G m_e^2 a_B^4} = \frac{e^2}{G m_e^2} \frac{\alpha^{-5}}{\omega_{\text{at}}} \approx 10^{34} \text{ s}$$

10<sup>34</sup> s  
 Zeitvergleich  
 Alter des Universums  
 Distanz zu  
 Coma Cluster  
 (45)

azit: Gravitationsabgestrahlte - Abstrahlung ist sehr schwach

# Rotator

Starrer Rotator im Hauptachsensystem:  $\hat{\Theta}_{ij} = \int \rho \vec{r}'_i \vec{r}'_j \rho(\vec{r}') dV \hat{=} \begin{pmatrix} I_1 & & \\ & I_2 & \\ & & I_3 \end{pmatrix}$

Annahme ( $\rightarrow$  Dreh-Temporalabhängigkeit): fixe Rotation um z-Achse:  $\vec{\omega} = \Omega \vec{e}_3$

Beobachtung des Trägheitsensors in Lab-System (i.e. Rotation um z-Achse) (vgl. Umbau)

$$\left. \begin{aligned} \Theta_{11}(t) &= \frac{I_1 + I_2}{2} + \frac{I_1 - I_2}{2} \cos(2\Omega t) \\ \Theta_{12}(t) &= \frac{I_1 - I_2}{2} \sin(2\Omega t) \\ \Theta_{22}(t) &= \frac{I_1 + I_2}{2} - \frac{I_1 - I_2}{2} \cos(2\Omega t) \\ \Theta_{33}(t) &= I_3, \quad \Theta_{13} = \Theta_{23} = 0 \end{aligned} \right\} \begin{aligned} &\downarrow \text{vgl. Ansatz (36)} \\ &\downarrow \text{auf S. (19)} \\ \Theta_{ij}(t) &= \cos t + [\Theta_{ij} \exp(-2i\Omega t)] + \text{cc} \\ \Theta_{ij} &= \frac{I_1 - I_2}{4} \begin{pmatrix} 1 & i & 0 \\ i & -1 & 0 \\ 0 & 0 & 0 \end{pmatrix} \end{aligned}$$

Mit der Definition

$I = I_1 + I_2$  - Trägheitsmoment bzgl. der Drehachse  $\vec{e}_z$

$\epsilon = \frac{I_1 - I_2}{I_1 + I_2}$  - "Elliptizität" des Körpers (i.e. "Unrunder")  $\rightarrow$  Quadrupol

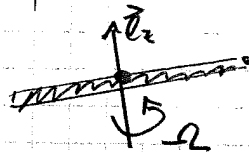
wird für die Strahlungsleistung (48) wird  $\Theta_{ij} \sim \frac{I\epsilon}{4}$  und  $\omega = 2\Omega$

$$P = \frac{32 G \Omega^6}{5 c^5} \epsilon^2 I^2 \quad \left( \frac{2}{5} \cdot (2^6) \cdot \left(\frac{1}{4}\right)^2 \cdot 4 \equiv \frac{32}{5} \right) \quad (50)$$

einer rotierenden Massenverteilung.

Bsp. rotierendes Balken:  $M = 5 \cdot 10^5 \text{ kg} = 500 \text{ t}$ ,  $L = 20 \text{ m}$ ,  $\Omega = 30 \text{ s}^{-1}$

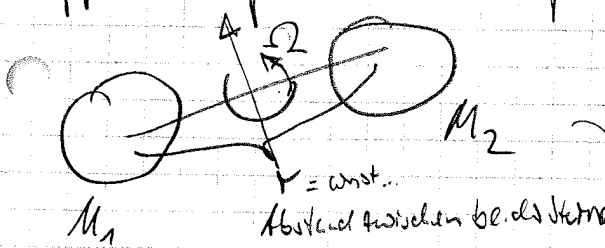
$$I \approx I_1 = \frac{ML^2}{12}, \quad I_2 \approx 0, \quad \epsilon \approx 1$$



$$\Rightarrow P \approx \dots = 2,4 \cdot 10^{-29} \text{ W} \quad (\text{siehe (6.14)})$$

$\Phi_{6\omega} \sim \frac{P}{(4\pi r)^2 (\frac{c}{\omega})^2} \sim 6 \cdot 10^{-32} \frac{\text{W}}{\text{m}^2} \leftarrow$  nicht nachweisbar  
 $\nearrow$  Energiedichte ist also geringfügig

Doppelsternsystem (vereinfacht: nur Kreisbahnen)



$$I \approx I_1 = \frac{M_1 M_2}{M_1 + M_2} r^2, \quad I_2 \approx 0, \quad \epsilon \approx 1$$

( $\approx I_3$ )

Kräfte gleichgew. d.h. ("Newtonian"):

$$\frac{M_1 M_2}{M_1 + M_2} \Omega^2 r^2 = \frac{G M_1 M_2}{r^2} \Rightarrow \Omega^2 = \frac{G (M_1 + M_2)}{r^3} \quad (51)$$

Für die Strahlungsleistung (50) wird:

$$P = \frac{32}{5} \frac{G^4}{c^5} \frac{M_1^2 M_2^2 (M_1 + M_2)}{r^5} \quad (52)$$

Somit erhalten wir mit dem Abstand  $D$  des Doppelsternsystems zur Erde die Energiedichte

Bsp:  $\Phi_{GW} = \frac{P}{4\pi D^2} \rightarrow \Phi_{GW} = \frac{P_{\text{B00}}}{4\pi D^2} = \frac{3.23 \cdot 10^{23} \text{ W}}{4\pi D^2} \times 1.8 \cdot 10^{-13} \frac{\text{W}}{\text{m}^2}$

*(1 pc = 3.26 Lichtj.)*  $\leftarrow D \rightarrow$  *Abstand zur Erde*  
*1.35  $M_{\odot}$*   
*0.68  $M_{\odot}$*

Die Abstrahlung (52) bedeutet einen Energieverlust, so daß aufgrund der sich verringerten Gesamtenergie, i.e.  $\frac{dE}{dt} < 0$ , sich langsam, aber stetig, auch der Abstand  $r$  sich verringert, bis die Sterne nach einer sog. Spiralzeit  $t_{\text{spir}}$  ineinanderstürzen:

ineinanderstürzen:  
 (Kepler)  
 $E_{\text{tot}} = E_{\text{pot}} + E_{\text{kin}} = - \frac{G M_1 M_2}{2r}$

$$P = - \frac{dE_{\text{tot}}}{dt} = - \frac{G M_1 M_2}{2r^2} \frac{dr}{dt} \stackrel{(52)}{=} \frac{32}{5} \frac{G^4}{c^5} \frac{M_1^2 M_2^2 (M_1 + M_2)}{r^5}$$

Mittels der Ersetzung  $x(t) = \left(\frac{r(t)}{r(0)}\right)^4$  folgt die einfache Differentialgleichung

$$\frac{dx}{dt} = - \frac{256 G^3}{5 c^3} \frac{M_1 M_2 (M_1 + M_2)}{r(0)^4} \stackrel{!}{=} - \frac{1}{t_{\text{spir}}} \Rightarrow x(t) = 1 - \frac{t}{t_{\text{spir}}} \quad (53)$$

$$\Rightarrow r(t) = r(0) \left(1 - \frac{t}{t_{\text{spir}}}\right)^{1/4}$$

Als Beispiel sei  $M_1 = M_2 = M_\odot$ ,  $r(0) = 10 R_\odot$ , (27)

$$t_{\text{spir}} = \frac{5}{\sqrt{12}} \left( \frac{c^2 r(0)}{GM} \right)^{3/2} \frac{r(0)}{c} \sim 10^{13} \text{ a} \gg 10^{10} \text{ a} \hat{=} \text{Weltalter}$$

$\frac{1}{2 \cdot 10^6}$        $\frac{1}{2,35}$

Als weiteres, energiericheres Ereignis seien zwei kompakte (Neutronen-)Sterne innerhalb unserer Milchstraße ( $d_{\text{Milchweg}} \sim 3 \cdot 10^4 \text{ pc}$ ):

$$M_1 = M_2 = M_\odot, \quad r = 30 \text{ km}, \quad D = 10^3 \text{ pc} \ll d_{\text{Milchweg}}$$

$$\text{Zus (51) folgt } T = \frac{2r}{c} \approx 2 \text{ ms}, \quad \text{aus (53) } t_{\text{spir}} \approx 80 \text{ ms}$$

Die beiden Sterne stehen also kurz vor dem Kollaps (vgl. auch Ligo-Events kürzeres Spitzgläserlicht schwarze Löcher (Neutronensterne - "binary mergers").

N.B.:  $r \sim r_0 \approx 30 \text{ km}$ , Gilt für unsere Abschätzung der Langwellen-Näherung  $\lambda \gg r_0$ ? (vgl (38) und (45))

$$\lambda \approx cT = 3 \cdot 10^5 \text{ km} \cdot 2 \text{ ms} = 600 \text{ km}$$

Damit ist die Näherung (noch) gut erfüllt, i.e.  $\lambda \gg r_0$ .

Werten wir noch die Abstrahlungsleistung (52) aus, so findet man

$$P \approx 10^{47} \text{ W} \quad \text{und} \quad \phi_{\text{GW}} = \frac{P}{4\pi D^2} \approx 10^{17} \frac{\text{W}}{\text{m}^2}$$

Die Energiedichte ist i.d.T. hoch (zum Vergleich: Sonnenstrahlung  $10^{36} \frac{\text{W}}{\text{m}^2}$ )

Diese "Bestrahlung" besteht allerdings nur für kurze Zeit

(wegen  $t_{\text{spir}} \sim 0,1 \text{ s}$ ), die gemachten Annahmen sind zwar (behi)optimistisch, aber nicht abwegig.

# Nachweismethoden von Gravitationswellen (Steifigkeit)

(a) PSR 1513+16 ("Hulse-Taylor-Pulsar"):

Das Gebilde PSR 1513+16 besteht aus einem Pulsar (Neutronenstern)

und einem nicht sichtbaren Begleiter, der ebenfalls ein Neutronenstern sein dürfte:

← sehr präzise Vermessung ("Pulsar")

$$T = 24906,9207807 \pm \dots$$

$$M_1 = (1,411 \pm 0,0007) M_\odot$$

$$M_2 = (1,3843 \pm 0,0007) M_\odot$$

}  $\Rightarrow T(0) \Rightarrow t_{\text{spir}} \sim 10^8$  Jahre

↑ also nicht beobachtbar...

aber: Auf Grund des Kepler-Gesetzes  $T^2 \sim r^3 \Rightarrow 2 \frac{dT}{T} = 3 \frac{dr}{r}$

$$\text{ist } \frac{dT}{dt} = \frac{3}{2} \frac{T}{r} \frac{dr}{dt} = -\frac{3}{8} \frac{T}{t_{\text{spir}}} \approx 10^{-12}$$

und speziell genauer

$$\frac{dT}{dt} = -(2425 \pm 0,01) \cdot 10^{-12}$$

Diese Abschätzung erklärt die ungefähre Verringerung. Die sorgfältige Analyse des exp. Befunde ergibt, dass die beobachtete Abnahme mit einer relativen Genauigkeit von 1% mit dem theoretischen Wert übereinstimmt!  $\rightarrow$  Nobelpreis an R.A. Hulse und J.H. Taylor 1993  $\rightarrow$  Hausübung

$$\text{genauer: } \frac{1}{T} \frac{dT}{dt} \stackrel{\text{Grenzwert}}{=} \frac{3}{2} \frac{dr}{r} \stackrel{E_{\text{tot}} = -\frac{G M_1 M_2}{2r}}{=} \frac{3}{2} \frac{dE_{\text{tot}}}{E_{\text{tot}}} \stackrel{(53)}{=} \left(-\right) \frac{3}{2} \frac{64}{5} \frac{G^3}{c^5} \frac{M_1 M_2 (M_1 + M_2)}{r^4}$$

$$\text{weil ist } T = \frac{2\pi}{\Omega} \stackrel{\text{3. Kepler-Gesetz}}{=} \frac{2\pi}{\Omega} \propto r^{3/2} \text{ folgt mit } \frac{1}{T} = \left(\frac{T}{2\pi}\right)^{2/3} [G(M_1 + M_2)]^{-1/3}$$

$$\frac{1}{T} \frac{dT}{dt} = \left(-\right) \frac{96}{5} \frac{G^2}{c^5} \frac{M_1 M_2}{[G(M_1 + M_2)]^{4/3}} \left(\frac{T}{2\pi}\right)^{-5/3} \quad (54)$$

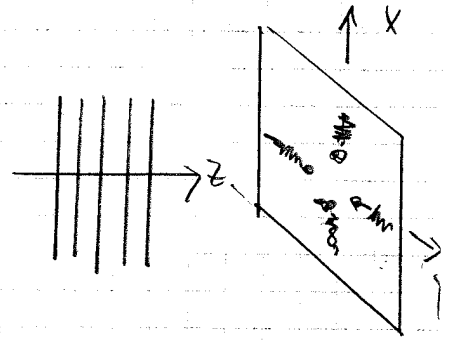
( $\rightarrow$  vgl. (11.70) im Goerner ohne Extra-Bräutigam)



## (b) Resonanzdetektoren (vgl. Feinbach)

29

Die ersten Versuche eines direkten Nachweises von Gravitationswellen sind mit dem Namen des Physikers Joseph Weber verbunden. In den 1960er-Jahren konstruierte dieser als Pionier der Gravitationswellendetektion, bezeichnete Wissenschaftler Resonanzwellendetektoren. Nach der Theorie verformen Gravitationswellen Festkörper



- prinzipieller Aufbau -

$$\frac{\Delta L_{xy}}{L} = \pm h \cos \omega t \quad (\text{Quadrupol-Schwingung})$$

Diese Verformung wird in Webers Detektoren dann anschließend über den piezoelektrischen Effekt in ein elektrisches Signal umgewandelt.

$$M \approx 1000 \text{ kg}, \quad L \approx 1 \text{ m}, \quad \omega_0 \approx 10^4 \text{ s}^{-1}$$

Ziel ist es, die Eigenschwingungen des Aufbaus mit  $\omega_0$  zu treffen, i.e.  $\omega_{\text{eig}} \rightarrow \omega_0$ . Problem ist ein thermisches Rauschen.

Die Nachweisgrenze für einen solchen Detektor liegt bei einer Amplitude  $h \approx 10^{-22}$ . Die Ergebnisse, die Weber gefunden hat ( $h$ ), lassen sich jedoch nicht reproduzieren.

Webers ursprünglicher Detektor erreichte  $h_{\text{min}} \approx 10^{-15}$ . Als bekannte Strahlungsquelle mit der festen Frequenz  $\omega_0 = 10^4 \text{ s}^{-1}$  kommt nur ein Pulsar in Frage. Die zu erwartenden Amplituden sind um viele Größenordnungen kleiner.

# Interferometer - LIGO

(vgl. Fliensbar)

(30)

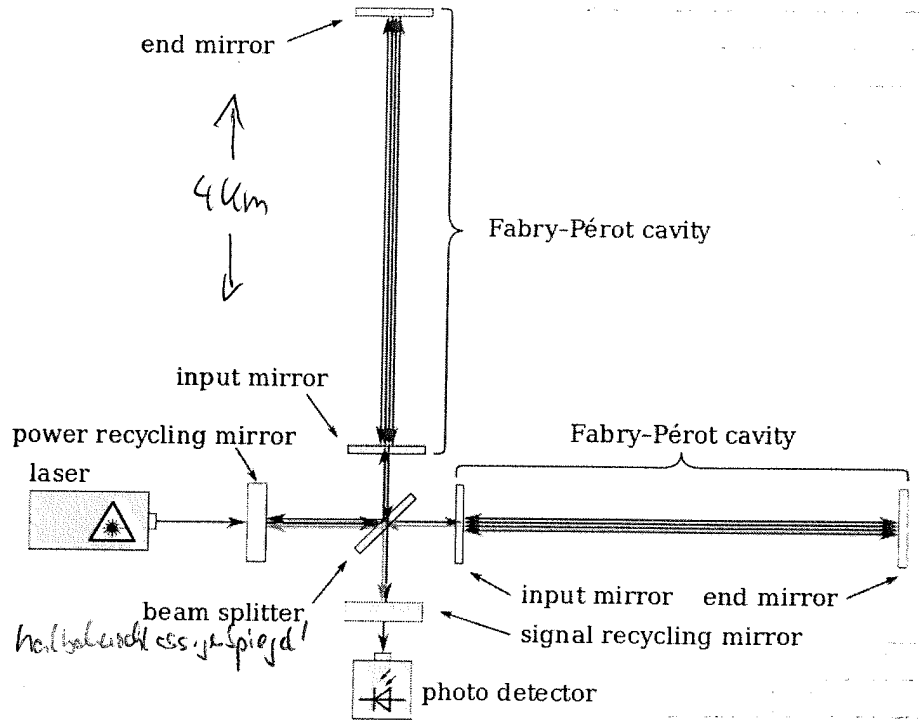
Die relative Längenänderung, die mit dem Interferometer gemessen werden soll, ist proportional zur Amplitude  $h$ . Die Amplitude hängt von der Energie der Lichtstrahlung ab:

$$h \approx \left( \frac{8\pi G}{c^3} \frac{\Phi_{GW}}{\omega^2} \right)^{1/2} \approx 1.4 \cdot 10^{-18} \left( \frac{\Phi_{GW}}{\text{W/m}^2} \right)^{1/2} \frac{1}{\text{s}}$$

← Schwärzungsdichte der Gravitationswelle in Sekunde

Für das Doppelsystem i-Boo ergibt sich beispielsweise eine Amplitude von  $h \approx 10^{-20}$ . Das exp. Aufbau muss also in der Lage sein, winzige Längenänderungen gemessen. Auf einem Kilometer beträgt die Änderung gerade 0,01 fm?

From Wikimedia Commons, the free media repository



~ schematischer Aufbau vom LIGO

(Laser Interferometer Gravity Wave Observatory)

2 Arme

→ Quadrupolstrahlung

Mehrere Arbeitsgruppen versuchen, Gravitationswellen über die Interferenz von Laserlicht, welches zwischen zwei Spiegeln hin- und-herläuft nachzuweisen. Dazu werden zwei Massen (ca. 1000kg) mit Spiegeln im Abstand  $L$  als Pendel aufgehängt. Da die Pendelfrequenz so viel kleiner ist als die Frequenz  $\omega_{GW}$ , bewegen sich die Massen wie freie Teilchen.

Die Senkrecht zu  $L$  ein fallende Welle induziert eine phys. Längenänderung  $\Delta L$  und damit zu einer Phasenverschiebung

$$\Delta\phi = 2\pi \frac{\Delta L}{\lambda_p} \leftarrow \text{Wellenlänge des Lasers}$$

des Laserlichtes, welches die Strecke zwischen den Spiegeln zurück legt.

Die Messgenauigkeit kann durch  $N$ -faches Durchlaufen der Strecke  $L$  und durch hohe Laserleistung  $I$  erhöht werden.

Die Zeit zwischen minimaler und maximaler Auslenkung  $\Delta L$  ist  $\delta t = \frac{\pi}{\omega_{GW}}$ . Während dieser Zeitspanne durchquert das Licht  $N$ -mal die Strecke zwischen den Spiegeln, ein längeres Lichtweg ist nicht sinnvoll, da die zunehmende Auslenkung dann wieder klein wird:

$$N \cdot L \geq c \delta t = \frac{\pi c}{\omega_{GW}}$$

$$\Rightarrow \Delta\phi_{GW} = 2\pi \frac{N \Delta L}{\lambda_p} = \frac{2\pi N L}{c \cdot \frac{2\pi}{\omega_p}} \frac{\Delta L}{L} = \pi \frac{\omega_p}{\omega_{GW}} h$$

$\leftarrow$  also hohes  $\omega_p$ ...

Die Phase  $\phi$  besitzt eine quantenmechanische Unschärfe (!),

$$\Delta\phi_{q.m.} \gtrsim \frac{1}{2 \Delta N_p} \approx \frac{1}{2 \sqrt{N_p}}$$

$$\Delta p \Delta x \gtrsim \hbar, \Delta p \sim \Delta N_p \cdot \hbar k, \Delta x \sim c \delta t$$

$$\Delta x \sim c \frac{\Delta\phi}{\omega} \sim \frac{\Delta\phi}{k} \Rightarrow \Delta p \cdot \Delta x \sim \frac{\Delta\phi}{k} \Delta N_p \hbar k \gtrsim \hbar$$

$$\Rightarrow \Delta\phi \Delta N_p \gtrsim 1$$

Die relevante Anzahl der Photonen mit der Energie  $\hbar \omega_p$

$$\langle N_p \rangle \sim \frac{\pi P_p}{\hbar \omega_p} \frac{1}{\hbar \omega_p} \frac{L}{\delta t}$$

$\leftarrow$  ... altes Laser, i.e. kohärente viele Photonen

Damit  $\Delta\phi_{GW} \gtrsim \Delta\phi_{q.m.}$  folgt

$$h \gtrsim \left( \frac{1}{4\pi^3} \frac{\hbar \omega_{GW}}{P_p / \omega_{GW}} \frac{\omega_{GW}}{\omega_p} \right)^{1/2} = h_{\min} = \sqrt{\frac{\hbar \omega_{GW}^3}{4\pi^3 P_p \omega_p}}$$

Am LIGO-Detektor können Impulse von  $h = 10^{-21}$  nachgewiesen werden.